

# 曲げねじりをうける鉄筋コンクリート部材の設計法

早稲田大学 松島 博

1. 要旨 曲げとねじりを同時にうける長方形断面の鉄筋コンクリート部材について、その破壊機構を明らかにし、設計の一方法を提案した。

構造物を構成するコンクリート部材は、その配置や断面形状等によっては、曲げモーメント、せん断力および軸力等とともに、これらによる二次的なねじりモーメントをうけることが多い。これに対する設計法は現在まで確立されていない。構造物の設計に際して、機能上および外観上の要求を大胆に取り入れる傾向が強まつにつれて、益々、部材は細長く、形状のものや、断面が非対称のものが多くなるであろう。従って、これまでのようにねじりモーメントを無視することは危険であり、また場合によつては却つて不経済なこともある。また、地震時には多くの場合、ねじりモーメントが他の外力とともにかかり、このために、曲げモーメントや軸力等に対しては充分安全をもつて設計された構造物が破壊することがある。従つて、合理的な破壊強度設計法の発展のためには、ねじりをうける鉄筋コンクリート部材の設計法を明らかにしなければならない。

部材の設計に当つては、強度上げかりでなく、変形上も適度の安全度をもたせる必要がある。だから、種々の荷重段階における変形量の評価と、変形に関する安全度の検討は、强度に関するものと同等の重要性をもつてゐる。とくに、部材に対して許容変形量が設けられたときは、この検討を欠くことは出来ない。しかし、コンクリート部材のねじりに関する従来の研究において、変形を理論的に取扱つたものはほとんどない。その理由は、変形に関して一般的に考慮が不十分になつたことほかに、これまで多く用いられてきた曲げねじりの相関曲線による方法では、それが破壊機構に基づくものではないので、これで変形を理論的に解明するこことが不可能だからである。そこで、本研究では、部材の破壊機構を明らかにし、強度と変形を同時に評価してそれらの安全性について検討する一方法を提案した。

2. ねじりモーメントと鉄筋コンクリート部材 構造物を構成する鉄筋コンクリート部材に対して主な荷重としてねじりモーメントが作用しないように構造物を設計するが得策である。しかし、これが避けられない場合のほか、種々の条件によつて一次的なねじりモーメントが誘起され、これらが構造物の安全性を低下させることが多い。一次的なねじりモーメントは、主として力の作用位置と部材断面のせん断中心との偏心によつて起る。このときは一般に、曲げモーメント、せん断力および軸力等の全部または一部とともにねじりモーメントが作用する。また、鉄筋コンクリート部材に純ねじりが作用する場合でも、G/Gの発生とその発達に伴つて部材断面が変化し、次第に、曲げねじりの状態に移行する。

ねじりをうける鉄筋コンクリート部材のG/Gの発生および破壊機構には、まだ不明確な点が多く、従つてその設計法も確立されていない。構造物の安全性を高めるためには、その機構を明らかにした上で、部材の強度と変形を正しく評価する方法を得ることが必要である。このとき、安全性を確保する点で、ねじりモーメントは次のような問題点をもつてゐる。

a) 強度上からは、まず、ねじりせん断応力の追加は一般的に危険側に作用するばかりでなく、このとき、鉄筋の配置方向と力の作用方向とが一致しないために、鉄筋の有效断面積が減少し、従って、同一鉄筋量でその補強効果は低下する。適切ならせん鉄筋の使用は有效であるが、曲げねじりの比に応じてその配置を決めることは困難で、施工上も問題がある。従って、軸方向鉄筋とこれに直交する閉じたスターラップを用いることが一般的で、このときは、曲げねじりおよびせん断力による力の作用方向への鉄筋断面積の成分が、その有效断面積となる。

b) 変形上からは、とくに、C.G.から発生後のねじり剛度の低下は著しく、従って、ねじれ変形の急激な増大のために起る構造物内のモーメントや力の再分配が短時間に進行し、安全度を害することがある。

c) 耐久性の点からは、C.G.から発生する問題がある。ねじりC.G.からみて、荷重増加とともに、そのC.G.から幅が増大するほかに、C.G.から面にそそぐすべりが加わり、このためには鉄筋とコンクリートの剥離率は、曲げの場合以上に大きくなることが予想される。従って、設計荷重作用時の許容C.G.から幅は、曲げの場合以下に制限が必要である。

### 3. 構造解析

長方形断面をもつ、軸方向鉄筋とこれに直交する閉じたスターラップで補強された鉄筋コンクリート部材に、曲げとねじりが同時に作用するときの破壊機構を解明し、その強度と変形を正しく評価し得る理論式を説明する。このために、上記の部材に現れる破壊面に着目して、その身影に近似した逆台形複鉄筋仮想断面を仮定し、この仮想断面の抵抗モーメントと変形から、部材の強度と変形を評価する方法を採用した。

このためにはまず、コンクリートと鉄筋の応力度とひずみ度の関係式と、その破壊時近傍に重合をもつて定める。この関係式と基礎にして、仮想断面における力の釣合いとひずみの条件とともに満足するように、部材の強度を求める。ついで、変形と、部材軸まわりのねじれ角と、部材軸に直交する軸まわりの回転角について評価する。

部材は、明確な降伏をもつ鉄筋を用いて、フリット鉄筋比以下に補強されているものとする。従って、ある一定荷重で引張鉄筋が降伏してプラスチックヒンジが形成され、ついで、圧縮域コンクリートの圧縮とともにヒンジが終了して部材は破壊する。前者を部材降伏強度時とし、後者を部材終局強度時と定義する。

(1) 破壊面 曲げの垂直応力と、ねじりせん断応力による主応力がコンクリートの引張強度をこえた部分に、最初のC.G.から  $\overline{ab}$  が発生し、これに伴って部材内部に応力の再分布が起つて、 $\overline{ab}$  側が引張域に、その反対側が圧縮域となる。そして、C.G.から  $\overline{ad}, \overline{bc}$  と発達し、最終的に  $\overline{cd}$  にそってコンクリートが圧縮して Fig. 1 のように破壊面が形成される。

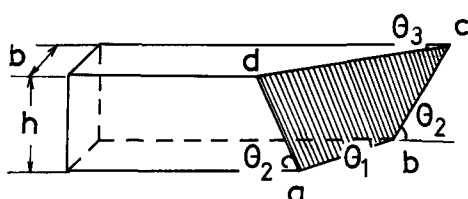
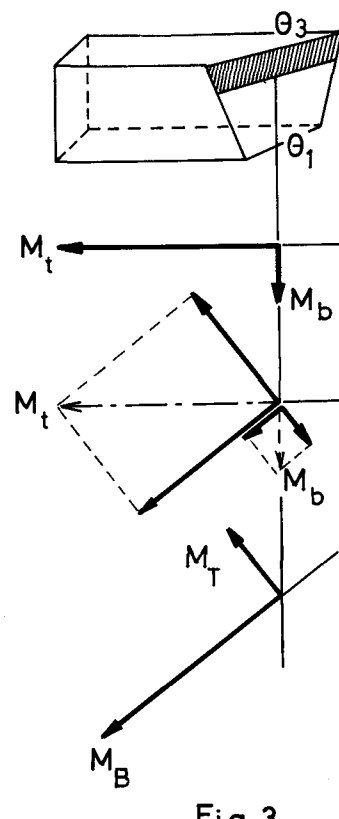
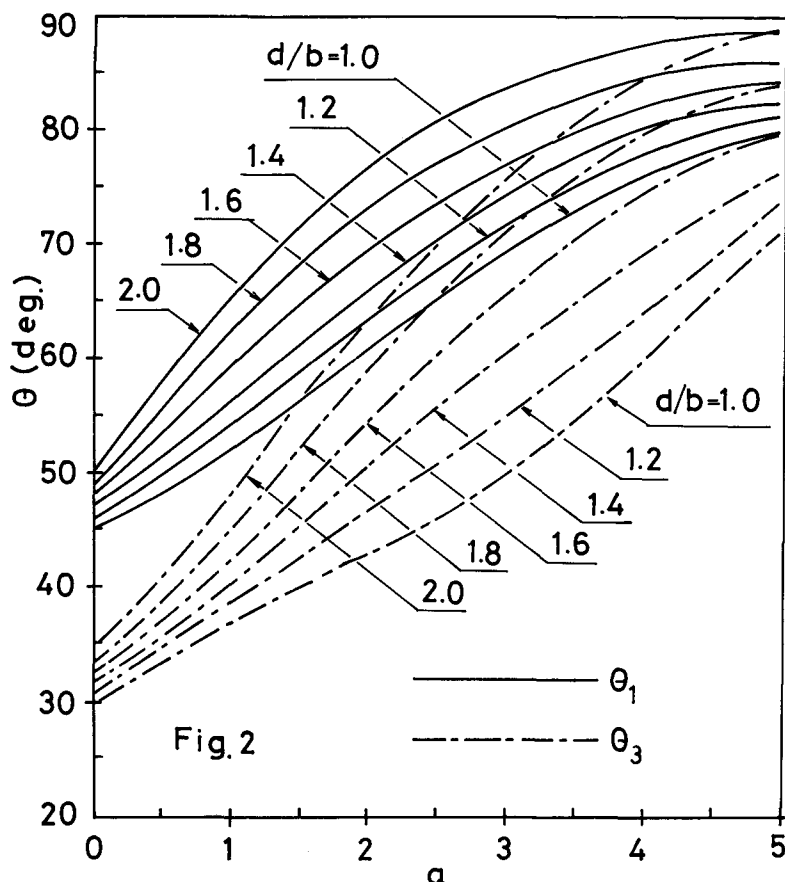


Fig. 1

Fig.1に示す角度  $\theta_1$  と  $\theta_3$  は、主応力方向の計算と実験結果から、Fig.2 のように示される。



(2) 仮想断面に作用する部材力 モーメントをベクトル表示し、その軸を矢印で示し、正のモーメントは矢印に向って右廻りであるとする。このとき、Fig.3 に示すように、部材に働く外力である曲げモーメント  $M_B$  とねじりモーメント  $M_t$  は、仮想断面に沿って、曲げ部材力  $M_B$  と回転部材力  $M_T$  として作用する。ここで、破壊面の斜形に近似した逆台形断面を仮想断面と仮定する。

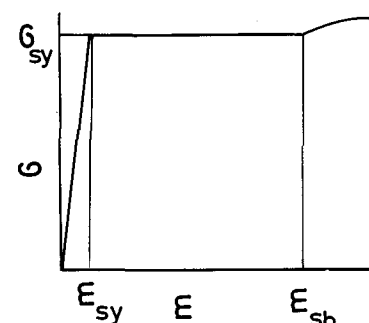
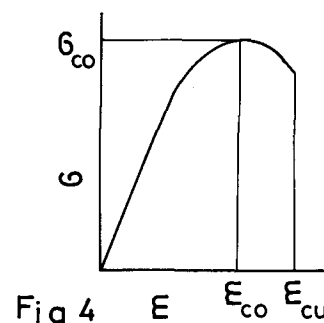
(3) コンクリートと鉄筋の、応力度とひずみ度の関係 破壊時近くまで正確に表わし得るように、次のように決める。

$$\text{コンクリート} \quad \frac{\epsilon_c}{\epsilon_{co}} = \frac{E_c \cdot e^{1-\frac{\epsilon_c}{\epsilon_{co}}}}{\epsilon_{co}} \quad (1)$$

鉄筋

$$\epsilon_s \leq \epsilon_{sy}$$

$$G_s = E_s \epsilon_s$$



$$\epsilon_{sy} < \epsilon_s \leq \epsilon_{sh} \quad \text{--- } G = G_s \quad , \quad \epsilon_{sh} < \epsilon_s < \epsilon_{s,max} \quad \text{--- } G \approx G_s \cdot (1 + A \log_e \frac{\epsilon_s}{\epsilon_{sh}}) \quad (2)$$

(4) 強度 Fig. 5 に示すよろと、仮想断面をもつ逆台形断面複筋鉄筋部材について、力の釣合とGずみの条件から、次の一般式が得られる。

$$\left. \begin{aligned} C_1 \eta k - C_2 \eta k^2 + C_3 p \frac{G'_s}{G_{co}} - C_4 p \frac{G_s}{G_{co}} &= 0 \\ \frac{M_B}{bd^2 G_{co}} = C_1 \eta k^2 + C_2 \eta k^3 + C_3 p \frac{G'_s}{G_{co}} (k - \frac{d'}{d}) + C_4 p \frac{G_s}{G_{co}} (1-k) \end{aligned} \right\} \quad (3)$$

$\therefore \eta = E_c / E_{co}, \quad \eta_{1-4} = f(\eta), \quad C_{1-4} = f(a, d/b)$

式(3)を、 $k$ と $M_B$ につ

て解けば、部材の強度は次式で求められる。

$$M_t = \frac{M_B}{\gamma (\cos \theta_3 + a \sin \theta_3)}$$

$$M_b = a \cdot M_t$$

（4）

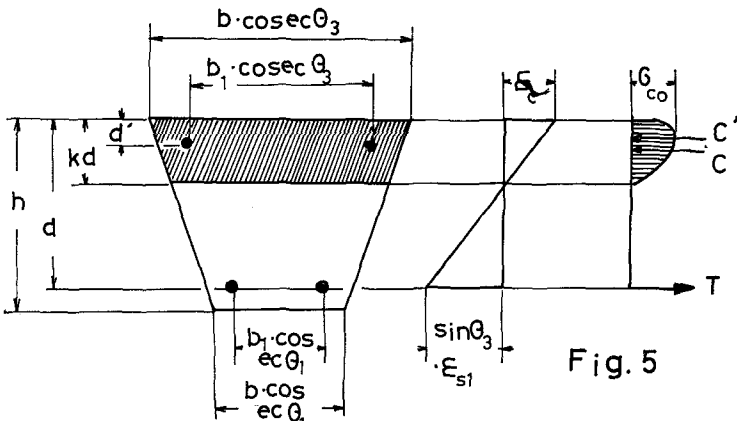


Fig. 5

この一般式に種々の荷重段階における条件を与えることによって、設計荷重作用時。

部材降伏および破壊時に因る式が、次のように求められる。

a) 設計荷重作用時  $\alpha_0$ 以下から部材降伏前までの任意荷重に対して、

$$\left. \begin{aligned} C_2 \eta_2^3 - C_1 \eta_1^2 - C_1 \frac{E_s E_c}{G_{co}} (C_{III} \frac{p'}{p} + C_{IV}) p k + C_1 \frac{E_s E_c}{G_{co}} (C_{III} \frac{p' d'}{p d} + C_{IV}) p &= 0 \\ C_2 \eta_2^4 + C_1 \eta_3^3 + C_1 \frac{E_s E_c}{G_{co}} [(C_{III} \frac{p'}{p} + C_{IV}) k^2 - (2 C_{III} \frac{p' d'}{p d} + 2 C_{IV}) k + C_{III} \frac{p}{p} (\frac{d^2}{d} + C_{IV})] p \\ - \frac{\gamma (\cos \theta_3 + a \sin \theta_3) M_t}{bd^2 G_{co}} k &= 0 \end{aligned} \right\} \quad (5)$$

b) 部材降伏時 引張鉄筋のGずみが、降伏Gずみに達することを条件に、

$$\left. \begin{aligned} C_1 \eta k - C_2 \eta k_{sy}^2 + C_{III} p \beta \frac{k_{sy} - \frac{d}{d'}}{1 - k_{sy}} - C_{IV} p \beta &= 0 \\ \frac{M_{Bsy}}{bd^2 G_{co}} = C_1 \eta k_{sy}^2 + C_2 \eta k_{sy}^3 + C_{III} p \beta \frac{(k_{sy} - \frac{d'}{d})^2}{1 - k_{sy}} + C_{IV} p \beta (1 - k_{sy}) \end{aligned} \right\} \quad (6)$$

c) 部材破壊時 壓縮側コンクリートの最大離Gずみが曲げ圧縮破壊Gずみに達する条件で、

$$\left. \begin{aligned} \epsilon_{sh} < \epsilon_s, \quad \epsilon'_{sy} < \epsilon'_s \\ C_1 \eta k - C_2 \eta k_{au}^2 + C_{III} p \beta - C_{IV} p \beta (1 + A \log_e \frac{\epsilon_s}{\epsilon_{sh}}) &= 0 \end{aligned} \right\} \quad (7)$$

$$\left. \begin{aligned}
 & \frac{M_{bcu}}{bd^2G_{co}} = C_1 \eta k_{cu}^2 + C_2 \eta k_{cu}^3 + C_3 p' \beta' \left( k_{cu} - \frac{d'}{d} \right) + C_4 p \beta \left( 1 + A \log \frac{E_s}{E_{sh}} \right) (1 - k_{cu}) \\
 & \cdot E_{sh} \leq E_s, E_s' \leq E_{sy} \\
 & C_1 \eta k_{cu} - C_2 \eta k_{cu}^2 + C_3 p' \frac{k_{cu} - \frac{d'}{d}}{k_{cu}} \frac{E_s E_{cu}}{C_5 G_{co}} C_4 p \beta \left( 1 + A \log \frac{E_s}{E_{sh}} \right) \\
 & \frac{M_{bcu}}{bd^2G_{co}} = C_1 \eta k_{cu}^2 + C_2 \eta k_{cu}^3 + C_3 p' \frac{\left( k_{cu} - \frac{d'}{d} \right)^2}{k_{cu}} \frac{E_s E_{cu}}{C_5 G_{co}} C_4 p \beta \left( 1 + A \log \frac{E_s}{E_{sh}} \right) (1 - k_{cu}) \\
 & \cdot E_{sy} \leq E_s \leq E_{sh}, E_s' \leq E_{sh} \\
 & C_1 \eta k_{cu} - C_2 \eta k_{cu}^2 + C_3 p' \cdot \frac{k_{cu} - \frac{d'}{d}}{k} \frac{E_s E_{cu}}{C_5 G_{co}} - C_4 p \beta = 0 \\
 & \frac{M_{bcu}}{bd^2G_{co}} = C_1 \eta k_{cu}^2 + C_2 \eta k_{cu}^3 + C_3 p' \frac{\left( k_{cu} - \frac{d'}{d} \right)^2}{k_{cu}} \frac{E_s E_{cu}}{C_5 G_{co}} + C_4 p \beta (1 - k_{cu}) \\
 & \cdot E_{sy} \leq E_s < E_{sh}, E_{sy}' \leq E_{sh} \\
 & C_1 \eta k_{cu} - C_2 \eta k_{cu}^2 + C_3 p' \beta' - C_4 p \beta = 0 \\
 & \frac{M_{bcu}}{bd^2G_{co}} = C_1 \eta k_{cu}^2 + C_2 \eta k_{cu}^3 + C_3 p' \beta' \left( k_{cu} - \frac{d'}{d} \right) + C_4 p \beta (1 - k_{cu})
 \end{aligned} \right\} \quad (8)$$

(5) 麻形 仮想断面について求めた回転角とねじり角の大小との、部材軸方向の成分の和が部材のねじり角 すなはち、部材軸と直交する方向の成分の和が部材の回転角であるとするれば、

$$\phi = \sin \theta \cdot g d + \cos \theta \cdot \theta d, \quad \theta = \cos \theta \cdot g d + \sin \theta \cdot \theta d \quad (11)$$

式中の  $g d \approx \theta d$  すなはちの荷重段階に応じて求めれば。

a) 設計荷重作用時

b) 部材降伏時

c) 部材破壊時

$$\phi = C_{11} \frac{E_c}{k}, \quad \theta = C_{12} \frac{E_c}{k} \quad \phi = C_7 \frac{E_{sy}}{1-k}, \quad \theta = C_8 \frac{E_{sy}}{1-k} \quad \phi = C_9 \frac{E_{cu}}{k}, \quad \theta = C_{10} \frac{E_{cu}}{k} \quad (12)$$

4. 断面の計算 断面計算のための強度の基準と、部材の降伏強度による。すなはち、設計荷重  $\cdot \phi_s$  ( $\phi_s$  : 安全係数,  $\phi_s \geq 1.0$ ) が降伏強度となるよう断面を計算する。

引張鉄筋に軟鋼を用いたとき、そのひずみ硬化のために、一般に降伏強度から終局強度に至るまでには若干の余裕がある。しかし、その余裕は余り大きいものではなく、また、部材降伏後の剛度、とくに、ねじり剛度の低下は著しいので、断面計算のための基準を降伏強度にこよのが適当である。

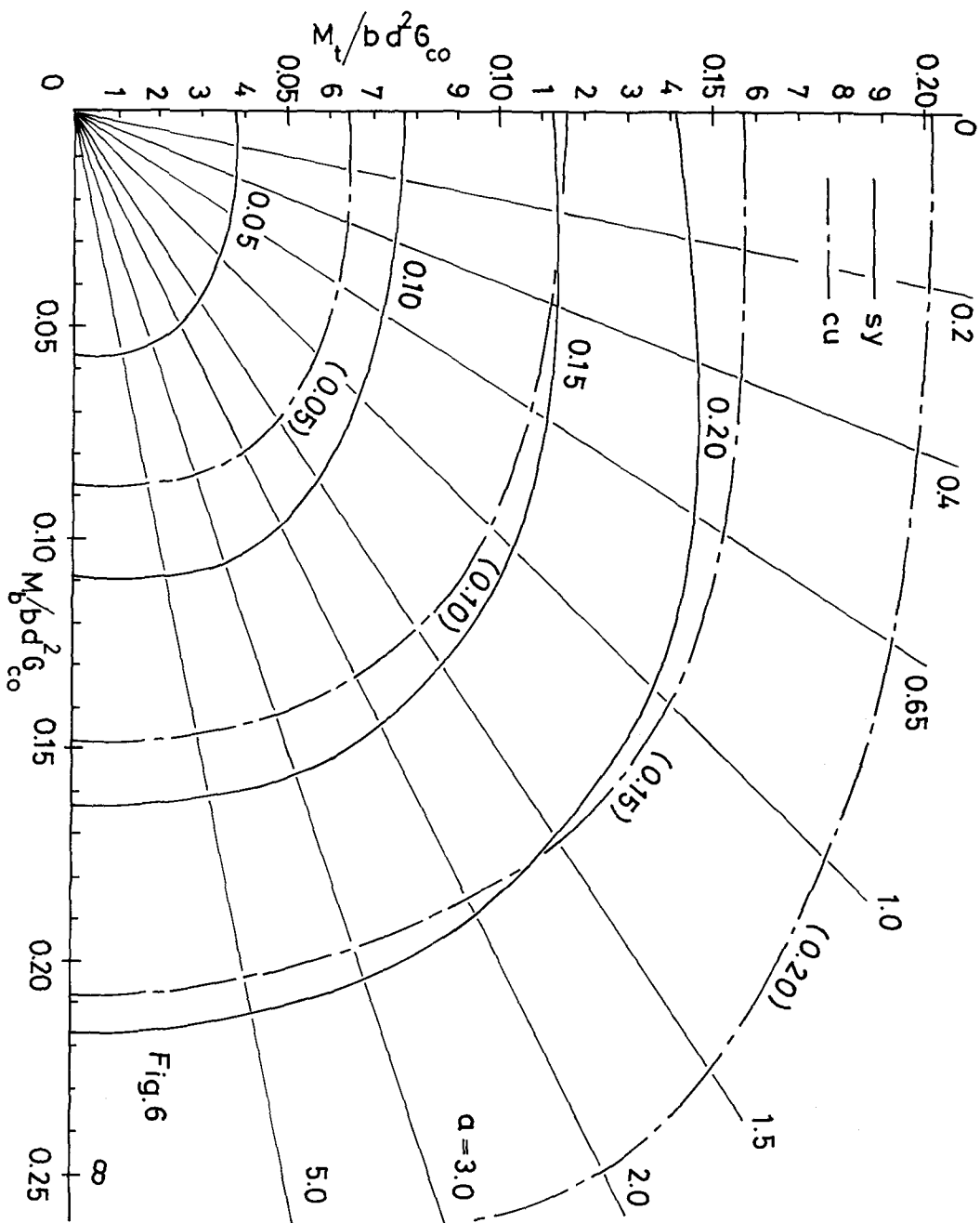
もし、耐久性の点から、設計荷重作用時にC.G.で引張発生を許さないときは、C.G.で引張発生強度を基準にして断面を計算する。この設計法については、別に提案した。<sup>3)</sup>

式(5)～(10)において、 $a$ と $d/b$ の値を与えれば、 $C_1 \sim 4$ が決まり、従って、 $p\beta$ の値に応じて、降伏強度および終局強度に関する  $k = M_t / bd^2 G_{co}$  の値を、あらかじめ求めておくことが出来る。それらの計算結果の詳細については省略するが、さらに、これらに基づいて用いた  $M_t$  と  $M_b$  の相関曲線と、鉄筋比ごとに Fig. 6 に示す。

設計荷重  $M_t$  と  $a$  が既知で、 $G_{co} \approx G_{sy}$  が既知または仮定出来るとときは、断面の計算は次の順序で行なう。

- $b$  と  $d$  を仮定し、 $\frac{\phi_s M_t}{bd^2 G_{co}}$  を計算する。

- Fig.6 から、ここで計算した  $\phi M_t / bd G_{co}$  に対する  $P\beta$  を求めよ。
- このとき、軸方向鉄筋は  $A_s = P \cdot bd$ 、スラブラットは  $r = mp = \frac{a_{sv}}{bs} + \frac{a_{sv}}{s} = m \cdot pb$   
 $\frac{a_{sv}}{s}$  を計算して  $a_{sv}$  と  $s$  の組合せを決める。ここで、 $m = \frac{r}{P}$  は Fig.7 に示す。
- $b, d, A_s, a_{sv}, s$  の組合せを数組求め、これらの中から、別に定めたねじりに関する構造細目や経済性等を考慮して、断面を選択する。



5. 変形の計算 設計荷重作用時と部材降伏時および終局時の変形を、ねじ水角と回転角について計算する。このとき、変形はすべて、部材に形成されるプラスチックヒンジ部分に集中するものと仮定する。

a) 設計荷重作用時 さきに導いた式(5)において、 $d/b$ ,  $p$ ,  $E_s$ ,  $G_{co}$  と  $a$ ,  $M_t$  は既知であるから、これらを代入すれば未知数  $k$  と  $\eta$  に関する二つの方程式が得られ、これを解くことが出来る。これを直接解くことは困難なので、それと並んで方程式について  $k-\eta$  曲線を用い、その二曲線の交点の座標を求めるのが良い。 $\eta$  の値から  $E_c = \eta E_{co}$  を計算すれば、変形は次式から求められる。

$$\Phi = C_{11} \frac{E_c}{k}, \quad \Theta = C_{12} \frac{E_c}{k}$$

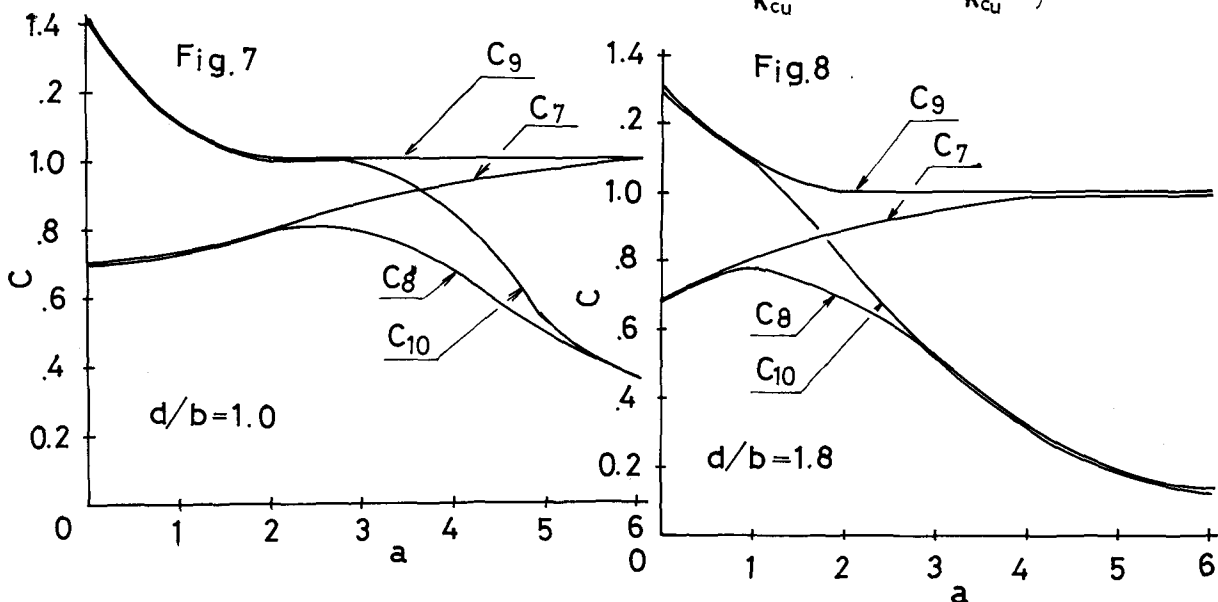
b) 部材降伏時 次式を用いて計算する。

$$\Phi_{sy} = C_7 \frac{E_{sy}}{1-k_{sy}}, \quad \Theta_{sy} = C_8 \frac{E_{sy}}{1-k_{sy}}$$

c) 部材破壊時 次式を用いて計算する。

$$\Phi_{cu} = C_9 \frac{E_{cu}}{k_{cu}}, \quad \Theta_{cu} = C_{10} \frac{E_{cu}}{k_{cu}}$$

} (12)



6. 安全度の検討 部材の設計に当って、ここでは次の方法で安全度の確保を図る。

- コンクリート強度は  $G_{co} = 0.85 G_{ck}$  を用いる。
- 断面計算のための强度の基準に、部材の降伏强度を用いる。降伏强度から終局强度までには若干の余裕がある。さらに、安全係数  $\Phi_s (> 1.0)$  を用いて、設計荷重  $\times \Phi_s$  が降伏强度となるようにする。
- 計算した断面について、設計荷重作用時、部材降伏時および破壊時の、それと強度との変形を計算し、その余裕を求めて、安全度を検討する。

安全度の検討は、次のように行なう。

(1) 強度上の安全度 計算した断面について  $P\beta = \frac{A}{bd} \cdot \frac{G_{sy}}{G_{co}}$  を計算する。Fig. 6 から、これに対応する  $M_{tsy}/bd^2 G_{co}$  と  $M_{tcu}/bd^2 G_{co}$  の値を求めて、 $M_{tsy}$  と  $M_{tcu}$  を計算する。

このとき、安全率は、降伏に対して  $M_{ty}/M_t$  で、破壊に対して  $M_{cu}/M_t$  である。

(2) 变形上の安全度 (5) に示し 反を複数の中、 $\theta$  と  $\Phi_{sy}, \theta_{sy}$  より  $\Phi_{cu}, \theta_{cu}$  を求めれば、安全率は降伏に対して  $\frac{\Phi_{sy}}{\Phi}, \frac{\theta_{sy}}{\theta}$  であり、また破壊に対して  $\frac{\Phi_{cu}}{\Phi}, \frac{\theta_{cu}}{\theta}$  である。

これらの安全率によって、構造物 または 部材の安定度を検討するのであるが、このようにして計算した安全率は、強度と変形について一般に一致しないし、また、変形が大きくなると、断面の総横比と曲げねじり比の組合せによつては、ねじり変形と曲げ変形に関して安全率が異なることも予想される。そして、変形量を予測することの困難さや、部材に起る変形量のばらつきの大きさなどを考慮すれば、変形の安全率を強度の安全率よりも大きく取るのが適当であろう。

强度上の安全率には余裕があるとも、プラットナックヒンジの回転角がその回転限界をこえれば、部材は変形の面で終局状態に達するから、これらの安全率の間に、補加。これら余裕が必要である。すなはち、Fig. 9 に計算結果の一例を示したよに、鉄筋比を大きくすれば抵抗モーメントは増大するが、変形能力は減少するので、その調和をどこに求めよかは、これから研究すべき問題である。また、実際の構造物においては、荷重にはもうひとつのこと、強度の点でも材料強度のばらつきのほかに設計計算の近似や施工誤差等の不確定要素があり、従って、安全度の検討に確率論的概念を導入することが必要となる。

## 7. 本設計法の適用範囲

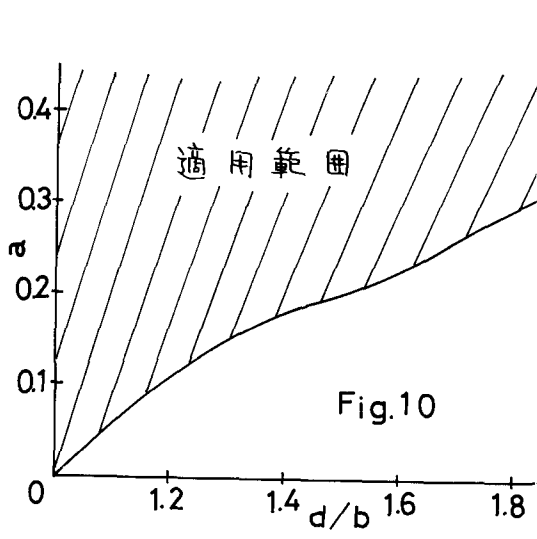


Fig. 10

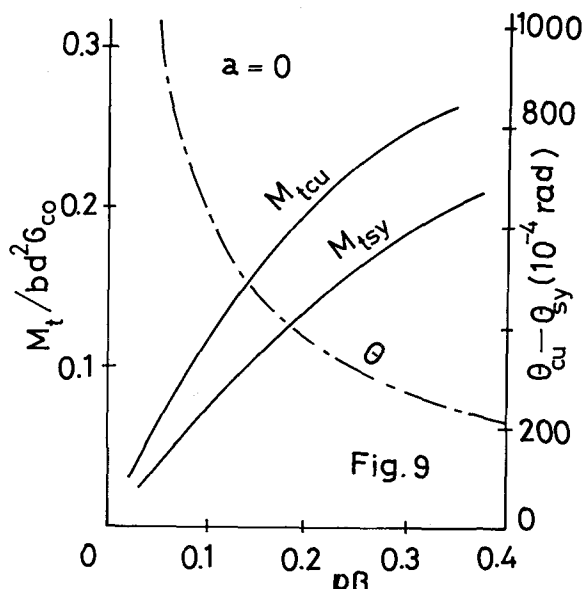


Fig. 9

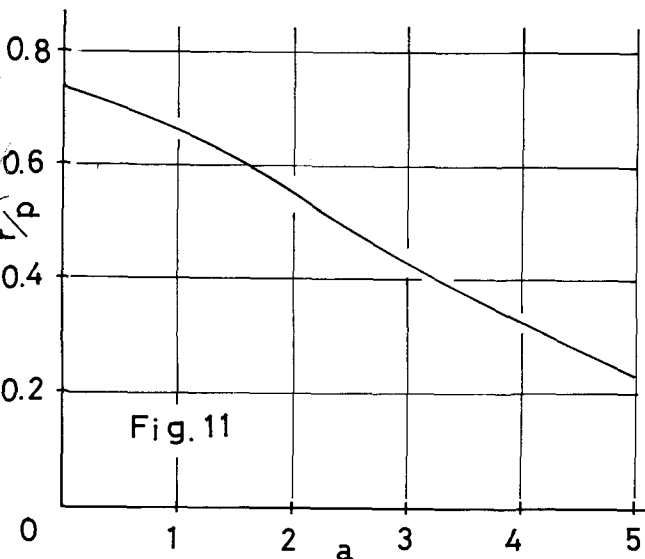


Fig. 11

構造解析において行なった仮定に基づいて、この設計法の適用範囲を次の通りとする。

- 長方形断面をもつ、軸方向鉄筋と柱に直交する筋ひびきラップで補強した鉄筋コンクリート部材が、曲げとねじりと同時に作用する場合に適用する。
- 部材は、明確な降伏点をもつ軟鋼で、フリ合・鉄筋比以下に補強されているものとする。これ以外の場合に対しては、ここで示した設計式と設計用図表はそのままでは使用出来ないが、一般式はこの場合も正しい。又えに、補強方法に応じた条件を一般式に組合せることによって、適用範囲を拡張することは可能である。
- 仮想断面の仮定から、ねじリモーメントと正の曲げモーメントの組合せに対して、部材下面が引張域で上面が圧縮域となる場合に適用される。この関係をグラフで示せば Fig.10 の通りである。
- スター・ラップ比と軸方向鉄筋比との割合は、仮想断面における力の作用方向と、それをもつ鉄筋の有效断面積によって定められる。従って、この割合は、部材断面総横比と曲げねじり比の組合せによって変化するが、これらは関係を Fig.11 に示す。

## 8. 実験

ここで提案した設計法の適否を検討するためには実験を行なった。試験体の形状寸法は Fig.12 の通りで、コンクリートの設計基準強度は  $f_{ck} = 300 \text{ kg/cm}^2$  とし、鉄筋

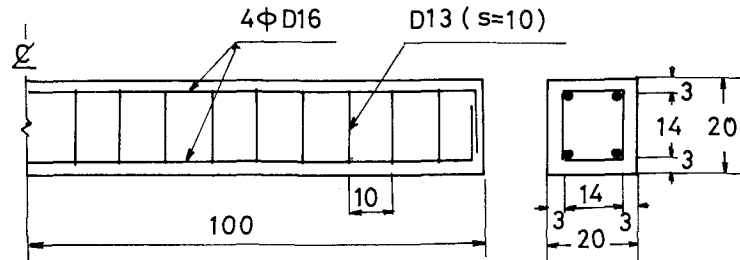


Fig. 12 (unit: cm)

は SD30 を用いた。荷重は、ねじり試験機によりねじリモーメントを、油圧ジャッキにより垂直荷重で曲げモーメントを、試験体ごとにあらかじめ定めた一定比率で、同時に与えた。 $M_{tsy}$ ,  $M_{tcu}$  について、実験結果と計算値との比較を Table 1 に示す。

9. 結論 鉄筋コンクリート構造物の安全性を確保するためには、ねじりの問題を慎重に取扱う必要があることを指摘し、まず、曲げねじりとねじり長方形断面鉄筋コンクリート部材の設計法について提案した。

設計に当たっては、強度だけではなく、変形および耐久性からの安全度を検

Table 1

a	No.	$M_t$	test(tm)	calc.(..)	test / calc.
			sy	cu	sy
0	A-1	sy	0.95	0.71	1.34
		cu	1.00	1.09	0.92
0	A-2	sy	0.95	0.71	1.34
		cu	1.00	1.09	0.92
0.65	B-1	sy	0.95	0.69	1.38
		cu	1.00	1.06	0.94
1.30	B-2	sy	0.80	0.62	1.29
		cu	1.20	0.96	1.25
2.60	C-1	sy	0.60	0.50	1.20
		cu	0.85	0.71	1.20
2.60	C-2	sy	0.75	0.50	1.50
		cu	0.85	0.71	1.20
00	D-1	sy	2.13(M)	2.14	1.00
		cu	2.77(..)	2.73	1.01

討が必要であるが、ここで提案した方法では、力の釣合いとともにひずみの条件とも満足するよう、強度と変形を同時に取扱うことに重きをあいた。

曲げねじりを同時にうける長方形断面鉄筋コンクリート部材には、その断面の幾何比と曲げねじり比の組合せ等によって変化する、ある破壊面が形成される。この破壊面は一種の曲面であるが、この斜面に着目してこれを仮想断面と仮定し、外力として作用する曲げモーメントとねじりモーメントと、この仮想断面に作用する部材力に置きかえた。さらに、断面形状と曲げねじり比の影響を、仮想断面の形状の変化に置きかえて、破壊機構の解析を行なった。その結果に基づいて設計法を提案した。

この方法は、実験結果との比較検討を進めていく段階であるが、現在のことごろ、強度については、曲げねじり比の変化する全領域でもあって、ほど正しく評価出来るよう、従って断面の計算に用いることが出来る。しかし、変形については十分ではない。変形の問題の解決のためには、理論解析の充実はもう少し必要であるが、さらに、実験において、とくに部材降伏時と破壊時、変形を正しく測定する方法を見出す必要がある。これららの時期の変形は、とくにねじりの場合その進行が急速で、正確な測定が困難である。

本研究は多くの未解決の問題を含んでいますが、まず解決すべき問題点は次の通りである。1. 変形に関する、理論解析の充実と、実験における測定法。 2. 強度と変形における安全率のきめ方と、それらの間に調和のとれた安全度の検討。 3. 仮想断面における中立軸の傾きの問題。 4. 最適鉄筋比および最大および最小鉄筋比。 5. 本設計法の適用範囲外に対する解決策。等である。

あとがき 本研究に対し適切な御指導を頂いた、神山一教授に対し厚く御礼申し上げます。

#### 参考文献

- 1) 神山一、鉄筋コンクリートはりのプラスチックヒンジの特性、昭和46年土木学会講演概要
- 2) 松島博、曲げねじりをうける鉄筋コンクリート部材の破壊機構、昭和47年土木学会講演概要
- 3) Susumu KAMIYAMA and Hiroshi MATUSHIMA, A Design Method for Reinforced Concrete Members based on Torsional Cracking Strength, Memoirs of the School of Science and Engineering, Waseda University, No. 35, 1971, p.87

#### 記号

$A_s, A'_s$ : そいそい、引張側と圧縮側の軸方向鉄筋断面積  $a_{sv}$ : スターラップ一本の断面積

$a = M_b/M_t, \beta = G_{sy}/G_{co}$ ,  $\gamma$ : 補正係数  $d$ : 有效高さ  $d'$ : かぶり

$b, h$ : そいそい、断面の短辺と長辺の長さ,  $b_1, h_1$ : スターラップの短辺と長辺の長さ

$E_{co}$ : コンクリートの最大応力度に対するひずみ,  $E_{cu}$ : コンクリートの圧縮极限ひずみ

$E_s, E'_s$ : そいそい、引張側と圧縮側の軸方向鉄筋の降伏ひずみ,  $E_s$ : 鉄筋のヤング係数

$E_{sh}$ : 鉄筋(軟鋼)のひずみ硬化領域に入ることのひずみで、 $E_{sh} = 10E_{sy}$

$\gamma d$ : 仮想断面についての、断面の回転角 中: 部材についての、回転角

$\phi_s$ : 断面計算のための安全係数,  $M_b$ : 曲げモーメント,  $M_t$ : ねじりモーメント

$p = A_b d, r = a/b s, m = r/p, s$ : スターラップ間隔

$G_{co}, G_{cu}$ : そいそい、コンクリートの最大および圧縮時の曲げ圧縮応力度

$\theta_t d$ : 仮想断面についての、ねじり角,  $\theta$ : 部材についての、ねじり角